

## การศึกษาปฏิกิริยาเร่งเชิงแสงของอนุภาคนาโนซิงค์ออกไซด์และซิลเวอร์/ซิงค์ออกไซด์ที่สังเคราะห์ผ่านเคมีสีเขียวโดยใช้สารสกัดใบฝรั่ง

Study on the Photocatalytic Activity of ZnO and Ag/ZnO Nanoparticles Synthesized via Green Chemistry using *Psidium guajava* L. Leaf Extract

ลดาวัลย์ คงครีจันทร์<sup>1</sup>, กนกวรรณ ภูมิวนิชกิจ<sup>2\*</sup>, สุพจน์ แสนสุข<sup>2</sup>, คอโลียะ เสมะ<sup>2</sup> และ มะห์ซีลาตี เจ๊สีมา<sup>2</sup>  
Ladawan Khongsichan<sup>1</sup>, Kanokwan Phumivanichakit<sup>2\*</sup>, Supojjanee Sansook<sup>2</sup>,  
Coleyoh Sema<sup>2</sup> and Maseelatee Jaaeleema<sup>2</sup>

(Received: 20 January 2025; Revised: 9 April 2025; Accepted: 28 June 2025)

### บทคัดย่อ

งานวิจัยนี้มีวัตถุประสงค์เพื่อศึกษาปฏิกิริยาเร่งเชิงแสงของอนุภาคนาโนซิงค์ออกไซด์และซิลเวอร์/ซิงค์ออกไซด์ที่สังเคราะห์ตามหลักเคมีสีเขียวโดยใช้สารสกัดใบฝรั่ง ศึกษาองค์ประกอบของสารสกัดใบฝรั่งโดยใช้เทคนิคฟูเรียร์ทรานส์ฟอร์มอินฟราเรดスペกโตรสโคป (FTIR) พบว่ามีองค์ประกอบของหมู่ไฮดรอกซิล (-OH) และหมู่คาร์บอนิล (-C=O) ซึ่งเป็นหมู่ฟังก์ชันของสารประกอบพินอเลิกที่ทำหน้าที่เป็นตัวเร่งในกระบวนการสังเคราะห์อนุภาคนาโนซิงค์ออกไซด์ มีค่าซ่องว่างพลังงานของซิงค์ออกไซด์ 3.30 อิเล็กตรอนโวลต์ และค่าซ่องว่างพลังงานของอนุภาคนาโนซิลเวอร์/ซิงค์ออกไซด์ 3.33 อิเล็กตรอนโวลต์ ซึ่งแสดงให้เห็นว่าการเจือนอนุภาคนาโนซิลเวอร์บนพื้นผิวซิงค์ออกไซด์ส่งผลให้ซ่องว่างพลังงานสูงขึ้นและอนุภาคนาโนซิงค์ออกไซด์และซิลเวอร์/ซิงค์ออกไซด์ผ่านการสลายสีย้อมໂරดาเมิน บี ภายใต้แสงยูวี เป็นเวลา 150 นาที และนำไปวัดค่าการดูดกลืนแสงที่ความยาวคลื่นสูงสุดของสีย้อมໂรดาเมิน บี คือ 554 นาโนเมตร พบร่วมกับค่าการดูดกลืนของ Zn-O เข้มข้น เนื่องจากเมื่อเพิ่มอุณหภูมิ 400 องศาเซลเซียส มีร้อยละการสลายสีย้อมต่ำสุดคือร้อยละ 24.36 และเมื่อเพิ่มอุณหภูมิในการเผาเป็น 900 องศาเซลเซียส มีร้อยละการสลายสีย้อมสูงขึ้นเป็นร้อยละ 49.45 ซึ่งสอดคล้องกับผลสเปกตรัมที่แสดงแบบการสั่นของ Zn-O เข้มข้น เมื่อนำซิงค์ออกไซด์หลังเผาเจือด้วยซิลเวอร์โดยวิธีไฟฟ้าดักชัน พบว่าส่งผลให้ภาพในการสลายสีย้อมสูงขึ้นอย่างเห็นได้ชัด โดยซิลเวอร์/ซิงค์ออกไซด์เผาที่อุณหภูมิ 400 องศาเซลเซียส มีการสลายสีย้อมต่ำสุดคือร้อยละ 87.99 และซิลเวอร์/ซิงค์ออกไซด์เผาที่อุณหภูมิ 900 องศาเซลเซียส มีการสลายสีย้อมสูงสุดคือร้อยละ

<sup>1</sup>คณะสาธารณสุขศาสตร์และสหเวชศาสตร์ มหาวิทยาลัยราชภัฏยะลา

<sup>1</sup>Faculty of Public Health and Allied Health Sciences, Yala Rajabhat University

<sup>2</sup>คณะวิทยาศาสตร์และเทคโนโลยี มหาวิทยาลัยราชวิถีราชนครินทร์

<sup>2</sup>Faculty of Science and Technology, Princess of Naradhiwas University

\*Corresponding Author, E-mail: [kanokwan.p@pnu.ac.th](mailto:kanokwan.p@pnu.ac.th)

97.90 ซึ่งแสดงถึงอิทธิพลจากการเ奉ร่วมกับการเจือชิลเวอร์บนพื้นผิวของซิงค์ออกไซด์ที่ทำให้ปฏิกิริยาเร่งเชิงแสงมีประสิทธิภาพสูง

**คำสำคัญ:** สารสกัดใบพร่อง อนุภาคนาโนชิลเวอร์/ซิงค์ออกไซด์ ปฏิกิริยาเร่งเชิงแสง

## Abstract

This study aimed to investigate the photocatalytic activity of ZnO and Ag/ZnO nanoparticles synthesized via green chemistry using guava (*Psidium guajava* Linn.) leaf extract. The composition of the guava leaf extract was analyzed using Fourier Transform Infrared (FTIR) Spectroscopy, revealing the presence of hydroxyl (-OH) and carbonyl (-C=O) functional groups, indicative of phenolic compounds acting as reducing agents in the synthesis of ZnO nanoparticles. The photocatalytic activity of the synthesized ZnO and Ag/ZnO nanoparticles was evaluated through the degradation of Rhodamine B dye under UV light irradiation for 150 minutes, with absorbance measured at the dye's maximum wavelength of 554 nm. Results indicated that ZnO calcined at 400°C exhibited the lowest dye degradation efficiency at 24.36%, while increasing the calcination temperature to 900°C can be enhanced the degradation efficiency to 49.45%. This improvement correlates with FTIR spectra showing intensified Zn-O vibration bands, suggesting increased crystallinity of ZnO at higher calcination temperatures. Furthermore, Ag doping on the ZnO surface via photoreduction significantly enhanced photocatalytic performance; Ag/ZnO calcined at 400°C achieved 87.99% dye degradation, and at 900°C, the degradation efficiency reached 97.90%. These findings demonstrate the combined influence of calcination temperature and Ag doping on the surface of ZnO, leading to superior photocatalytic efficiency.

**Keywords:** *Psidium guajava* L. leaf extract, Ag/ZnO nanoparticles, Photocatalytic activity

## บทนำ

อุตสาหกรรมฟอกย้อมสีทอเป็นหนึ่งในอุตสาหกรรมที่มีบทบาทสำคัญต่อภาคเศรษฐกิจของประเทศไทยอย่างยิ่ง เนื่องจากเป็นแหล่งผลิตสินค้าเพื่อการส่งออกและการบริโภคในประเทศ อย่างไรก็ตาม อุตสาหกรรมนี้มีศักยภาพที่จะส่งผลกระทบต่อสิ่งแวดล้อมอย่างมาก โดยเฉพาะจากการกระบวนการฟอกย้อมที่ใช้น้ำปริมาณมากและปล่อยน้ำเสียที่ปนเปื้อนสารเคมีออกสูไห่ลงน้ำธรรมชาติ สีย้อมอินทรีย์ที่ปนเปื้อนในน้ำเสียจากการกระบวนการฟอกย้อมเป็นหนึ่งใน

ปัญหาสำคัญที่ส่งผลกระทบต่อเหลืองน้ำสาธารณะ ด้วยเหตุนี้กระบวนการเร่งปฏิกิริยาเชิงแสง (photocatalysis) จึงถูกนำมาประยุกต์ใช้ในงานบำบัดน้ำเสีย เนื่องจากมีประสิทธิภาพในการกำจัดสารมลพิษที่ยากต่อการย่อยสลาย เช่น สีย้อมอินทรีย์ การใช้วัสดุที่เป็นตัวเร่งปฏิกิริยากระตุนการเกิดปฏิกิริยาทางเคมีที่สามารถทำลายโครงสร้างของสารเหล่านี้ การใช้สารกึ่งตัวนำโลหะออกไซด์เป็นตัวเร่งปฏิกิริยาด้วยแสงที่แพร่หลาຍมี 2 ชนิด ได้แก่ ไทดิเมเนียมไดออกไซด์ และ ซิงค์ออกไซด์เนื่องจากเตรียมได้ง่าย ไม่เป็นพิษต่อสิ่งแวดล้อม อีกทั้งยังมีประสิทธิภาพในการย่อยสลายสีย้อม ในกระบวนการบำบัดน้ำเสียที่ลดผลกระทบต่อสิ่งแวดล้อมจากอุตสาหกรรมฟอกย้อมสิ่งทอ โดยในหลายปีมานี้นิยมสังเคราะห์สารกึ่งตัวนำโลหะออกไซด์ที่มีการเจือธาตุอื่นเพิ่มเติมเพื่อเพิ่มประสิทธิภาพในการเป็นตัวเร่งปฏิกิริยาเชิงแสงให้ดียิ่งขึ้น โดยธาตุที่เจือมักมีคุณสมบัติในการส่งผ่านอิเล็กตรอนให้ดียิ่งขึ้น เช่น การสังเคราะห์ไทดิเมเนียมไดออกไซด์ที่เจือด้วยฟลูออรีนและคลอรีน ซึ่งทำให้ประสิทธิภาพในการทำงานบำบัดน้ำเสียจากสีย้อมเพิ่มสูงขึ้น (Abu & Mohd, 2023) การสังเคราะห์อนุภาคนาโนซิงค์ออกไซด์เจือด้วยชัลเฟอร์ทำหน้าที่เป็นตัวเร่งในกระบวนการเร่งเชิงแสงสลายสีย้อมโรดามีน ปี ซึ่งพบว่าส่งผลให้ประสิทธิภาพการสลายสีย้อมเพิ่มสูงขึ้น (Mirzaiefard et al., 2020)

ซิงค์ออกไซด์เป็นตัวเร่งปฏิกิริยาเชิงแสง (photocatalyst) ที่นิยมใช้กันอย่างแพร่หลายที่สุด เนื่องจากมีประสิทธิภาพดี มีเสถียรภาพทางเคมี หาซื้อด้วยง่ายในเชิงพาณิชย์ มีราคาไม่แพง และมีกระบวนการสังเคราะห์หลากหลายวิธี (Raza et al., 2023) แต่ซิงค์ออกไซด์ยังมีข้อจำกัดที่สำคัญคือเป็นสารกึ่งตัวนำที่มีช่องว่างพลังงาน (band gap) กว้าง (ประมาณ 3.37 eV) ส่งผลให้มีการรวมตัวกันอย่างรวดเร็วของอิเล็กตรอน/ไฮล์ (electron/hole recombination) ทำให้ประสิทธิภาพในการเร่งปฏิกิริยาเชิงแสงเกิดได้น้อยลง (Zhang et al., 2016) โลหะเงินเป็นโลหะที่นิยมเจือในซิงค์ออกไซด์ เนื่องจากทำหน้าที่เป็นอ่างอิเล็กตรอน (e-sink) ช่วยในการกักเก็บและถ่ายโอนอิเล็กตรอน ลดการรวมกันของอิเล็กตรอน และไฮล์ เพื่อเพิ่มระยะเวลาในการเกิดปฏิกิริยาเร่งเชิงแสงให้นานขึ้นทำให้การสลายสีย้อมเกิดได้ดียิ่งขึ้น (Hussain et al., 2024)

การสังเคราะห์อนุภาคนาโนซิงค์ออกไซด์สามารถทำได้หลายวิธี โดยเฉพาะการสังเคราะห์ตามหลักเคมีสีเขียว (Green synthesis) ที่ใช้สารสกัดจากพืช เช่น ใช้สารสกัดจากสาหร่ายพุ่งกะโหลด (*Ceratophyllum demersum L.*) ในการสังเคราะห์อนุภาคนาโนคอมโพสิต Ag-ZnO/rGO และประสิทธิภาพในการสลายสีย้อมโรดามีน ปี (Kadhem & Alshamsi, 2023) การสังเคราะห์อนุภาคนาโนคอมโพสิต Ag/ZnO-MMT จากสารสกัดใบตำแย (*Urtica dioica L.*) โดยสามารถเกิดประสิทธิภาพในการสลายสีย้อมเมธิลีนบลูได้ดีภายใต้แสงวิศิเบิล การสังเคราะห์อนุภาคนาโนคอมโพสิต Ag-ZnO โดยสารสกัดจากใบชัด (*Trigonella foenum-graecum L.*) มีคุณสมบัติต้านแบคทีเรีย ต้านเชื้อรา ต้านอนุมูลอิสระ และเป็นตัวเร่งในปฏิกิริยาเชิงแสง (Noohpisheh et al., 2020) โดยสารสกัดเหล่านี้มีหมู่ฟังก์ชันที่สำคัญ ได้แก่ ไฮดรอกซิล (-OH) คาร์บอนิล (C=O) กรดคาร์บօกซิลิก (-COOH) ซึ่งทำหน้าที่เป็นตัวเรductants และเป็นสารเพิ่มความเสถียรในกระบวนการสังเคราะห์ สารสกัดจากใบฟรั่งมีสารที่น่าสนใจเช่น ไลโคมาติน สารประกอบ Caryophyllene cineol Tannin Sesquiterpenoids และ Triterpenoid ซึ่งสารกลุ่มนี้สามารถให้อิเล็กตรอน จึงมีคุณสมบัติเป็นตัวเรductants ในการสังเคราะห์อนุภาคนาโนได้ เช่น ใช้สารสกัดจากใบฟรั่งเป็นตัวเรductants ในการสังเคราะห์อนุภาคนาโนซิลเวอร์ (Sougandhi & Ramanaiah, 2020) การสังเคราะห์อนุภาคนาโนเหล็กวาเลนซ์สูง (Jeyasundari et al., 2017) ดังนั้นงานวิจัยนี้จึงสนใจศึกษาปฏิกิริยาเร่งเชิงแสงของอนุภาคนาโน

ซิงค์ออกไซด์และซิลเวอร์/ซิงค์ออกไซด์ที่สังเคราะห์ผ่านเคมีสีเขียวโดยใช้สารสกัดใบฟรั่ง โดยศึกษาอิทธิพลที่มีต่อการเร่งปฏิกิริยาเชิงแสงผ่านการสลายสีย้อมโรดามีน บี

## วัตถุประสงค์การทำวิจัย

1. เพื่อศึกษาระบวนการสังเคราะห์อนุภาคนาโนซิงค์ออกไซด์และซิลเวอร์/ซิงค์ออกไซด์ผ่านหลักเคมีสีเขียวโดยใช้สารสกัดจากใบฟรั่งและศึกษาคุณลักษณะเฉพาะ
2. ศึกษาปฏิกิริยาเร่งเชิงแสงของอนุภาคนาโนซิงค์ออกไซด์และซิลเวอร์/ซิงค์ออกไซด์จากการสลายสีย้อมโรดามีน บี

## วิธีดำเนินการวิจัย

### 1. การเตรียมอนุภาคนาโนซิงค์ออกไซด์และซิลเวอร์/ซิงค์ออกไซด์

- การเตรียมสารสกัดใบฟรั่ง ล้างทำความสะอาดใบฟรั่ง หันให้มีขนาดเล็กเป็นฝอย ปริมาณ 50 กรัม เติมน้ำกลั่นลงไป 200 มิลลิลิตร ต้มที่อุณหภูมิ 100 องศาเซลเซียส เป็นเวลา 2 ชั่วโมง จากนั้นทิ้งให้เย็นที่อุณหภูมิห้อง กรองด้วยกระดาษกรอง และบรรจุในขวดรูปทรงพู่ปิดด้วยฟลอยด์เก็บไว้ในตู้เย็นอุณหภูมิ 4 องศาเซลเซียส

- การเตรียมอนุภาคนาโนซิงค์ออกไซด์ นำสารสกัดใบฟรั่งไปให้ความร้อนที่อุณหภูมิ 60 องศาเซลเซียส เป็นเวลา 10 นาที เติมซิงค์ไนเตรต เอ็กไซเดต 5.0 กรัม จากนั้นให้ความร้อนต่อที่อุณหภูมิ 60 องศาเซลเซียส เป็นเวลา 30 นาที เตรียมสารละลายโซเดียมไฮดรอกไซด์เข้มข้น 1.0 มอลต่อลิตร หยดลงในของผสมระหว่างสารสกัดใบฟรั่งและซิงค์ไนเตรต เอ็กไซเดต นำไปปรีฟลักซ์ที่อุณหภูมิ 65 องศาเซลเซียส เป็นเวลา 1 ชั่วโมง จะได้ตะกอน นำมากรองด้วยกระดาษกรอง ล้างตะกอนด้วยน้ำกลั่นจำนวน 3 ครั้ง ล้างด้วยเอทานอลจำนวน 1 ครั้ง อบตะกอนที่อุณหภูมิ 100 องศาเซลเซียส เป็นเวลา 1 ชั่วโมง จากนั้นบดตะกอนให้ละเอียดและนำไปเผาที่อุณหภูมิ 400 และ 900 องศาเซลเซียส เป็นเวลา 1 ชั่วโมง

- การสังเคราะห์ซิลเวอร์/ซิงค์ออกไซด์ ( $\text{Ag/ZnO}$ ) เตรียมซิงค์ออกไซด์จากสารสกัดใบฟรั่งและเผาที่ 400 หรือ 900 องศาเซลเซียส 0.2 กรัม เติมน้ำกลั่น 100 มิลลิลิตร นำไปวางในเครื่องโซนิเคชันเป็นเวลา 20 นาที จากนั้นหยด 0.012 มอลต่อลิตร ปริมาตร 50 มิลลิลิตรเก็บในที่มีด 30 นาที จากนั้นนำไปฉายแสง 1 ชั่วโมง เปิดหลอดไฟแอลอีดี 3 หลอด (15 วัตต์ ยี่ห้อ Sylvania) ปฏิกิริยาทั้งหมดดำเนินการภายใต้สภาพการคนสม่ำเสมอ นำตะกอนที่ได้ไปล้างด้วยน้ำกลั่น 3 ครั้ง ตามด้วยเอทานอล 1 ครั้ง นำไปกรอง จากนั้nobที่อุณหภูมิ 60 องศาเซลเซียส เป็นเวลา 12 ชั่วโมง นำตะกอนที่ได้มาบดให้เป็นผงละเอียดบรรจุในชิปล็อกพลาสติกเก็บไว้ในที่ไม่มีแสงและความชื้น

## 2. ศึกษาคุณลักษณะเฉพาะของอนุภาคนาโนซิงค์ออกไซด์และซิลเวอร์/ซิงค์ออกไซด์

ศึกษาองค์ประกอบของอนุภาคนาโนซิงค์ออกไซด์และซิลเวอร์/ซิงค์ออกไซด์โดยใช้เทคนิคฟูเรียร์ทรายส์ฟอร์มอินฟราเรดスペกโตรสโคปี (FTIR) การวิเคราะห์ลักษณะเฉพาะสมบัติทางแสงของอนุภาคนาโนซิงค์ออกไซด์ และซิลเวอร์/ซิงค์ออกไซด์โดยเทคนิคยูวี-วิสเปลสเปกโตรสโคปี (UV – Vis Spectroscopy)

## 3. การศึกษาปฏิกิริยาเร่งเชิงแสง

ชั่งอนุภาคนาโนซิงค์ออกไซด์และซิลเวอร์/ซิงค์ออกไซด์ที่สังเคราะห์ขึ้นที่สภาพะต่าง ๆ ปริมาณ 0.1 กรัม เติมสีย้อมที่ความเข้มข้น  $1.0 \times 10^{-5}$  มोลต่อลิตร ปริมาตร 150 มิลลิลิตร ศึกษาการดูดซับสีย้อมในที่มีเด 30 นาที เก็บสารละลายสีย้อม 4 มิลลิลิตร จากนั้นฉ่ายแสงเปิดหลอดไฟแบล็คไลท์ 3 หลอด (15 วัตต์ ยี่ห้อ Sylvania) เก็บสารละลายสีย้อมครั้งละ 4 มิลลิลิตร ทุกๆ 30 นาทีต่อเนื่องกัน 5 ครั้ง รวม 150 นาที แล้วนำไปวัดค่าการดูดกลืนแสงของสีย้อมโรดามีน ปี ที่ความยาวคลื่น 554 นาโนเมตร คำนวณหาร้อยละการสลายของสีย้อมจากสมการต่อไปนี้ (Zhang et al., 2020)

$$\text{Degradation (\%)} = [(C_0 - C_t)/C_0] \times 100 = [(A_0 - A_t)/A_0] \times 100$$

เมื่อ  $C_0$  คือ ความเข้มข้นเริ่มต้นของสีย้อมก่อนฉ่ายแสง

$C_t$  คือ ความเข้มข้นเริ่มต้นของสีย้อมหลังฉ่ายแสง

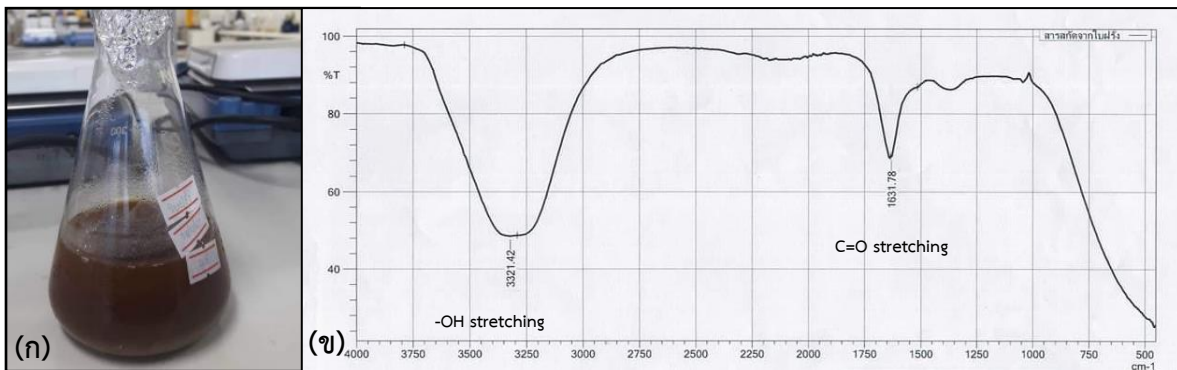
$A_0$  คือ ค่าการดูดกลืนแสงของสีย้อมก่อนฉ่ายแสง

$A_t$  คือ ค่าการดูดกลืนแสงของสีย้อมหลังฉ่ายแสง

## ผลการวิจัย

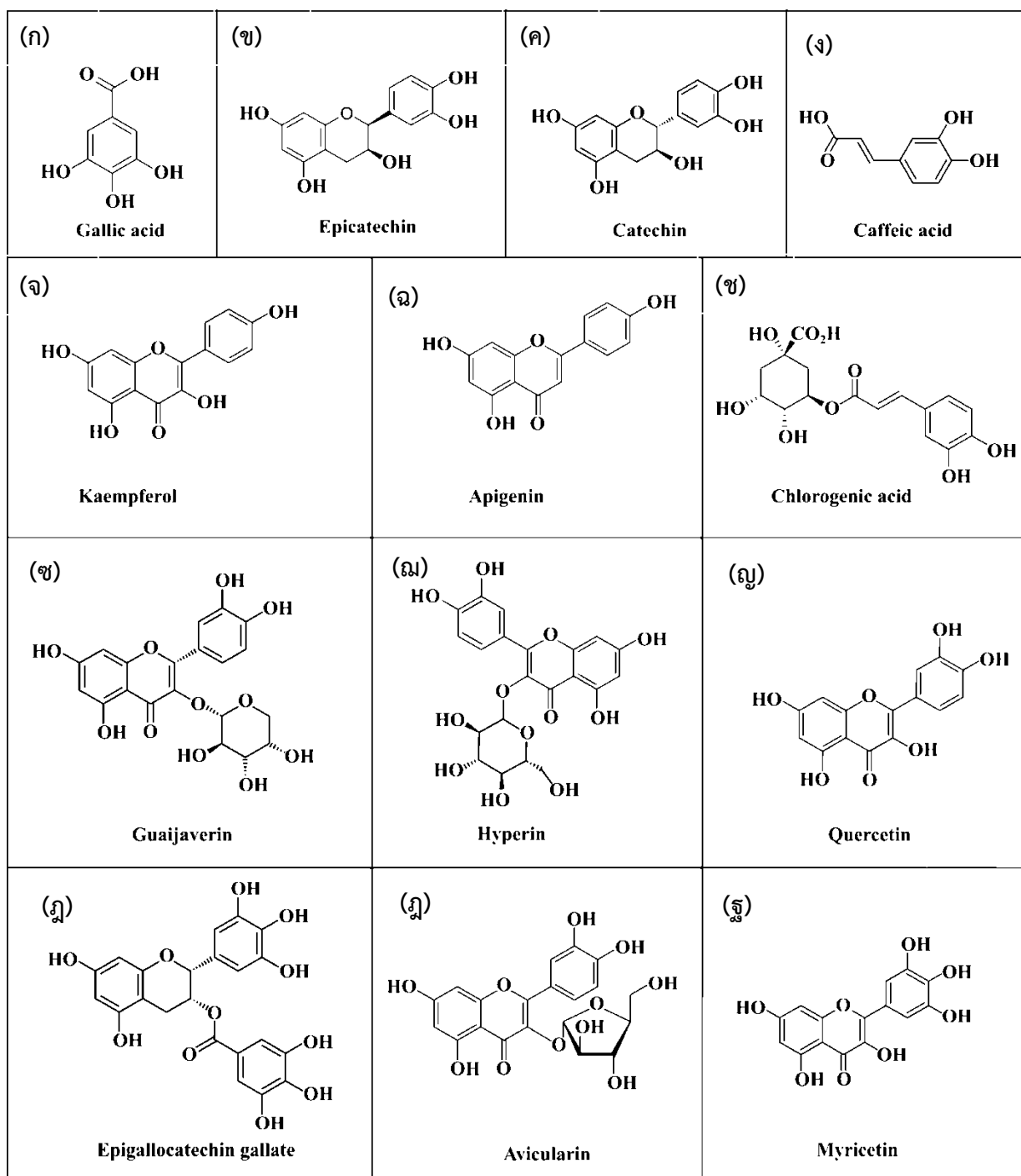
### 1. ผลการสกัดใบฝรั่งและคุณลักษณะเฉพาะของสารสกัด

สารสกัดจากใบฝรั่งที่ศึกษาสกัดโดยใช้น้ำเป็นตัวทำละลาย เนื่องจากสารสำคัญที่ใช้เป็นตัวรีดิวช์เป็นสารที่มีข้าว เช่น สารโพลีฟีนอลิก ได้แก่ พลาโนนอยด์และแทนนินซึ่งเป็นสารสำคัญที่ช่วยในการรีดิวช์ไอโอนโลหะให้กลอยเป็นอนุภาคนาโน (Patil & Rane, 2020) สารสกัดที่ได้จากใบฝรั่งมีลักษณะเป็นสารละลายสีน้ำตาล เมื่อนำมาไปศึกษาด้วยเทคนิคฟูเรียร์ทรายส์ฟอร์มอินฟราเรดスペกโตรสโคปีเพื่อวิเคราะห์โครงสร้างทางเคมีของสารสกัดใบฝรั่งผ่านการดูดกลืนรังสีอินฟราเรด ในการตรวจสอบพันธะเคมี และ หมู่ฟังก์ชันในองค์ประกอบ พบว่าスペกตรัมทั้งปรากฏพิคที่ช่วงเลขคิลิตรังกัน ได้แก่  $3321.42 \text{ cm}^{-1}$  และ  $1631.78 \text{ cm}^{-1}$  ที่เป็นแถบการยึดของหมู่ไฮดรอกซิล (-OH) และแถบการยึดของหมู่คาร์บอนิล ( $\text{C=O}$ ) ซึ่งพบในโครงสร้างของสารประกอบกลุ่มฟีนอลิก (Sougandhi & Ramanaiah, 2020) ลักษณะสารสกัดจากใบฝรั่ง และスペกตรัม FTIR แสดงดังภาพที่ 1 (ก) และ (ข)



ภาพที่ 1 สารสกัดจากใบฝรั่ง (ก) และ (ข) สเปกตรัม FTIR ของสารสกัดจากใบฝรั่ง

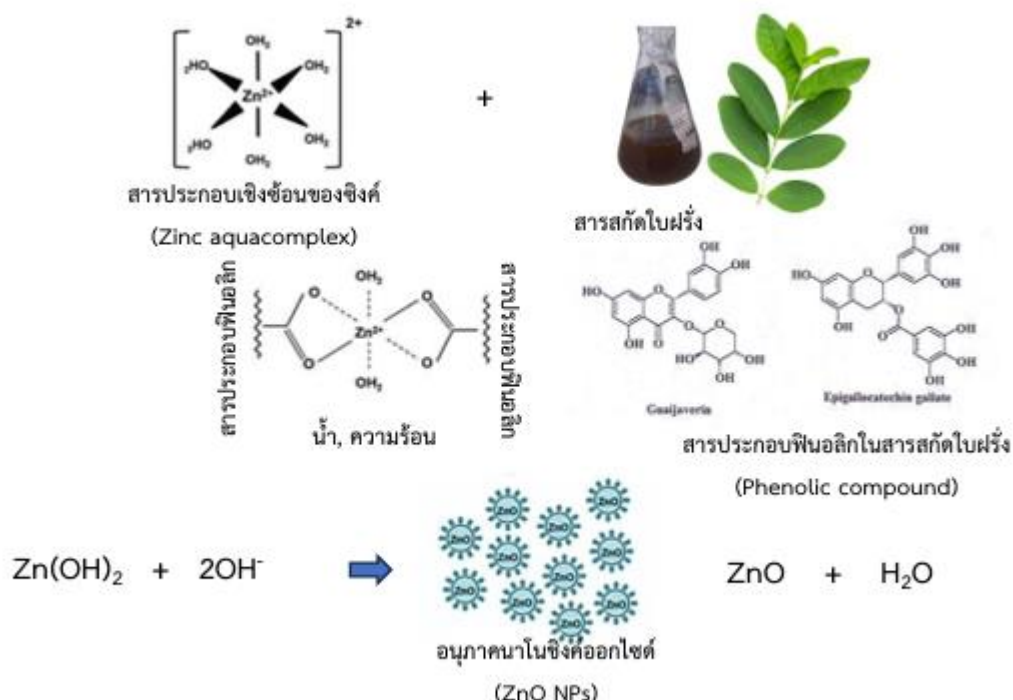
จากผลดังกล่าวสอดคล้องกับโครงสร้างทางเคมีจากสารสกัดใบฝรั่ง ที่ประกอบด้วยสารกลุ่มฟีนอลิก (Phenolic compound) เป็นจำนวนมาก ได้แก่ Gallic acid Epicatechin Catechin Caffeic acid Kaemferol Apigenin Guajadial Chlorogenic acid Guaijaverin Hyperine Epigallocatecin gallate Avicularin และ Myricetin (Changan et al., 2021) โครงสร้างทางเคมีของสารประกอบฟีนอลิกในสารสกัดจากใบฝรั่ง ดังแสดงในภาพที่ 2



ภาพที่ 2 โครงสร้างทางเคมีของสารสกัดใบฝรั่ง (ก) Gallic acid (ข) Epicatechin (ค) Catechin (ง) Caffeic acid (จ) Kaemfero (ฉ) Apiginin Guajadial (ช) Chlorogenic acid (ช) Guaijaverin (ภ) Hyperine (ฎ) Epigallocatecin gallate (ฏ) Avicularin (ฐ) Myricetin

## 2. ลักษณะทางกายภาพและคีเคมีคุณลักษณะเฉพาะของซิงค์ออกไซด์และซิลเวอร์/ซิงค์ออกไซด์

การสังเคราะห์อนุภาคนาโนซิงค์ออกไซด์และซิลเวอร์/ซิงค์ออกไซด์ตามหลักเคมีสีเขียวโดยใช้สารสกัดจากใบฝรั่งเป็นตัวเรีดิวชันในกระบวนการตกตะกอน โดยมีกลไกในการสังเคราะห์อนุภาคนาโนซิงค์ออกไซด์ (Vittaya & Chalad, 2022) ดังภาพที่ 3



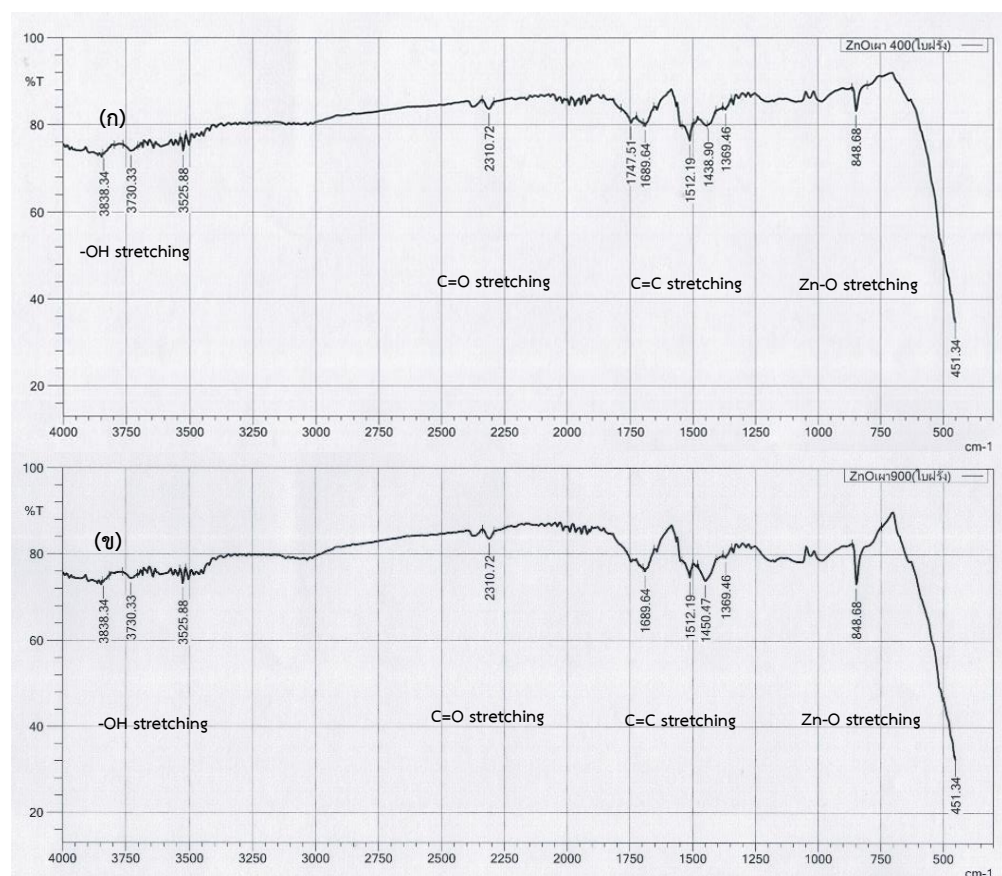
ภาพที่ 3 กลไกในการสังเคราะห์อนุภาคนano zincคือกใช้ดีจากสารสกัดใบฟรัง

ศึกษาอิทธิพลของอุณหภูมิในการเพาปรับปรุงที่อุณหภูมิ 400 และ 900 องศาเซลเซียส เพื่อให้ได้ออนุภาคนano zincคือกใช้ดี ศึกษาอิทธิพลของสารเจือโดยเจือโลหะเงินด้วยวิธีไฟตัดกัน จากการทดลองพบว่าอนุภาคนano zincคือกใช้ดีจากสารสกัดใบฟรังได้ตั้งก่อนเป็นผงสีน้ำตาล หลังจากเผาที่ 400 องศาเซลเซียส มีลักษณะเป็นผงสีน้ำตาลอ่อน เมื่อเผาที่ 900 องศาเซลเซียส ได้ซิงค์คือกใช้ดีที่มีลักษณะเป็นผงสีขาว ดังแสดงในภาพที่ 4 (ก) (ข) และ (ค) ตามลำดับ จากลักษณะทางกายภาพบว่าซิงค์คือกใช้ดีก่อนเผาเมื่องค์ประกอบจากสารสกัดใบฟรังเจือปนอยู่มาก เนื่องจากมีสีน้ำตาลเข้มเหมือนสารสกัดจากใบฟรัง เมื่อเผาที่ 400 องศาเซลเซียส สารอินทรีย์และองค์ประกอบถูกเผาทำให้สีอ่อนลงเป็นสีน้ำตาลอ่อน และลักษณะของซิงค์คือกใช้ดีเผาที่ 900 องศาเซลเซียสมีลักษณะเป็นผงสีขาวเหมือนซิงค์คือกใช้ดีที่ขายตามท้องตลาด เมื่อนำซิงค์คือกใช้ดีที่ผ่านการเผามาเจือด้วยซิลเวอร์โดยวิธีไฟตัดกัน คือการฉายแสงยูวีเพื่อรีดิวซ์ซิลเวอร์ไอออนในสารละลายให้เป็นโลหะซิลเวอร์เคลือบบนพื้นผิวซิงค์คือกใช้ดีทำให้เปลี่ยนเป็นผงสีเทาดำ ตามภาพที่ 4 (ง) และ (จ)

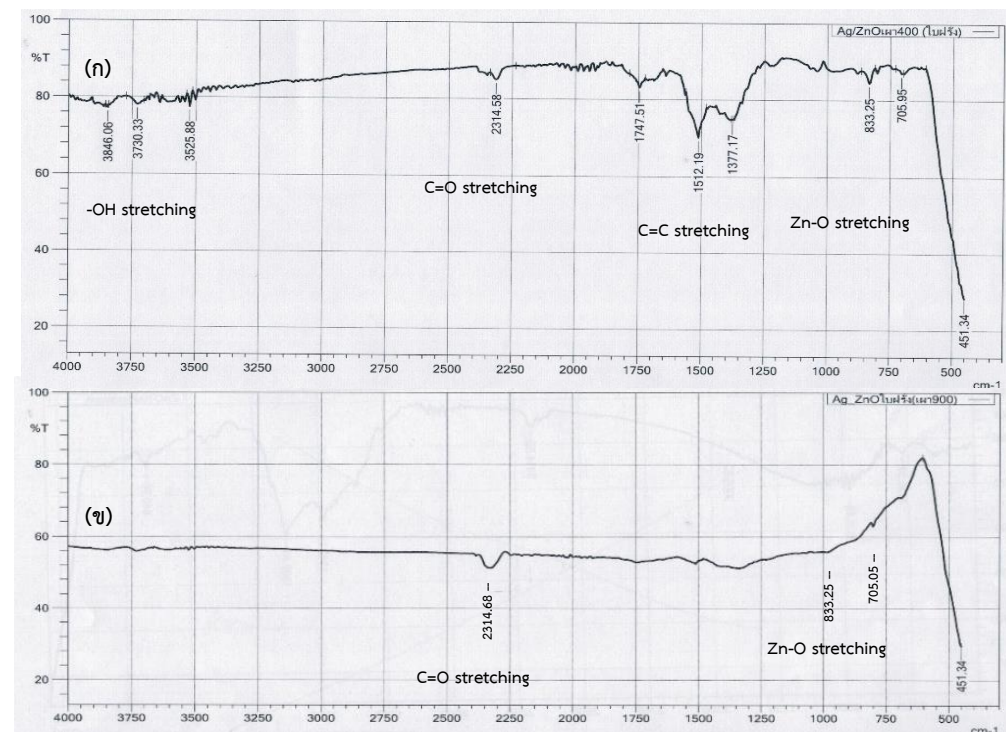


ภาพที่ 4 ผงซิงค์ออกไซด์ที่สังเคราะห์โดยใช้สารสกัดจากใบฟรั่ง (ก) ซิงค์ออกไซด์ก่อนเผา (ข) ซิงค์ออกไซด์เผาที่ 400 องศาเซลเซียส (ค) ซิงค์ออกไซด์เผาที่ 900 องศาเซลเซียส (ง) ชิลเวอร์/ซิงค์ออกไซด์เผาที่ 400 องศาเซลเซียส (จ) ชิลเวอร์/ซิงค์ออกไซด์ที่เตรียมจากซิงค์ออกไซด์เผาที่ 900 องศาเซลเซียส

การศึกษาคุณลักษณะเฉพาะของซิงค์ออกไซด์และชิลเวอร์/ซิงค์ออกไซด์ที่สังเคราะห์วิเคราะห์หมู่ฟังก์ชัน และองค์ประกอบของสารด้วยเทคนิคฟูเรียร์ทรานส์ฟอร์મอินฟราเรดスペกตรสโคปี โดยซิงค์ออกไซด์ที่สังเคราะห์ประกอบด้วยซิงค์ออกไซด์เผาที่ 400 องศาเซลเซียส และซิงค์ออกไซด์เผาที่ 900 องศาเซลเซียส ดังภาพที่ 5 (ก) และ (ข) ปรากฏแถบการดูดกลืนที่เลขคลื่น 3838.34, 3737.33 และ 3525.88 cm<sup>-1</sup> ซึ่งสอดคล้องกับแถบการดูดกลืนของวงแหวนฟีโนอลซึ่งเป็นองค์ประกอบในสารสกัด แสดงพันธะ O-H (O-H stretching) ในช่วง 3735-3023 cm<sup>-1</sup> จากหมู่ไฮดรอกซิลของโครงสร้างพินอเลิกบนพื้นผิวของซิงค์ออกไซด์ การเลื่อนไปทางที่มีความยาวคลื่นมากขึ้นแสดงให้เห็นการเกิดอนุภาคนาโนซิงค์ออกไซด์ (Kaniningini et al., 2022) ที่ตำแหน่ง 2310.72 cm<sup>-1</sup> สอดคล้องกับแถบการสั่นของ O=C=O ซึ่งมาจากแก๊สคาร์บอนไดออกไซด์ในกระบวนการเผาปรับปรุง (Kumar et al., 2015) ที่ตำแหน่ง 1747.51 cm<sup>-1</sup> และ 1689.64 cm<sup>-1</sup> เป็นตำแหน่งของหมู่คาร์บอนิล (C=O) ในสารประกอบคาร์บอนเนตที่ปนเปื้อนอยู่บนพื้นผิวซิงค์ออกไซด์ และแถบการสั่นที่สำคัญอยู่ในที่ตำแหน่ง 848.68 และ 451.34 cm<sup>-1</sup> เป็นช่วงการสั่นที่ยืนยันโครงสร้างในระดับนาโนเมตรของอนุภาคนาโนซิงค์ออกไซด์ โดยเป็นตำแหน่งที่เกิดพันธะของโลหะออกไซด์ Zn-O (Ochieng et al., 2015) เมื่อนำอนุภาคนาโนซิงค์ออกไซด์ที่สังเคราะห์มาเจือด้วยชิลเวอร์ ปรากฏสเปกตรัมที่ 3838.34, 3737.33 และ 3525.88 cm<sup>-1</sup> ซึ่งเป็นแถบการสั่นของหมู่ไฮดรอกซิล (-OH) ของอนุภาคนาโนชิลเวอร์/ซิงค์ออกไซด์เผาที่ 400 องศาเซลเซียส ในขณะที่อนุภาคนาโนชิลเวอร์/ซิงค์ออกไซด์เผาที่ 900 องศาเซลเซียส ไม่ปรากฏแถบการสั่นในช่วงนี้ แต่ปรากฏพีคที่ชัดขึ้นที่ตำแหน่ง 2310.72 cm<sup>-1</sup> ซึ่งแสดงถึงพันธะ O=C=O ในแก๊สคาร์บอนไดออกไซด์ที่ดูดซับบนพื้นผิวของซิงค์ออกไซด์จากการเผา นอกจากนั้นยังปรากฏแถบการสั่นที่สำคัญของ M-O-M และ M-O ซึ่งยืนยันในการเกิด Zn-O ของซิงค์ออกไซด์ และชิลเวอร์/ซิงค์ออกไซด์ (Shameli et al., 2017) ดังภาพที่ 6 (ก) และ (ข) โดยพีคที่ปรากฏของอนุภาคนาโนชิลเวอร์/ซิงค์ออกไซด์จะมีความเข้มลดลงเมื่อเปรียบกับอนุภาคนาโนซิงค์ออกไซด์ที่ไม่เจือชิลเวอร์เนื่องจากการก่อตัวของอนุภาคนาโนชิลเวอร์บนพื้นผิวของซิงค์ออกไซด์ (Nagaraju et., 2017)



ภาพที่ 5 สเปกตรัม FTIR ของชิ้งค์ออกไซด์ที่เตรียมจากสารสกัดใบฟองเมืองเผาที่ 400 และ 900 องศาเซลเซียส



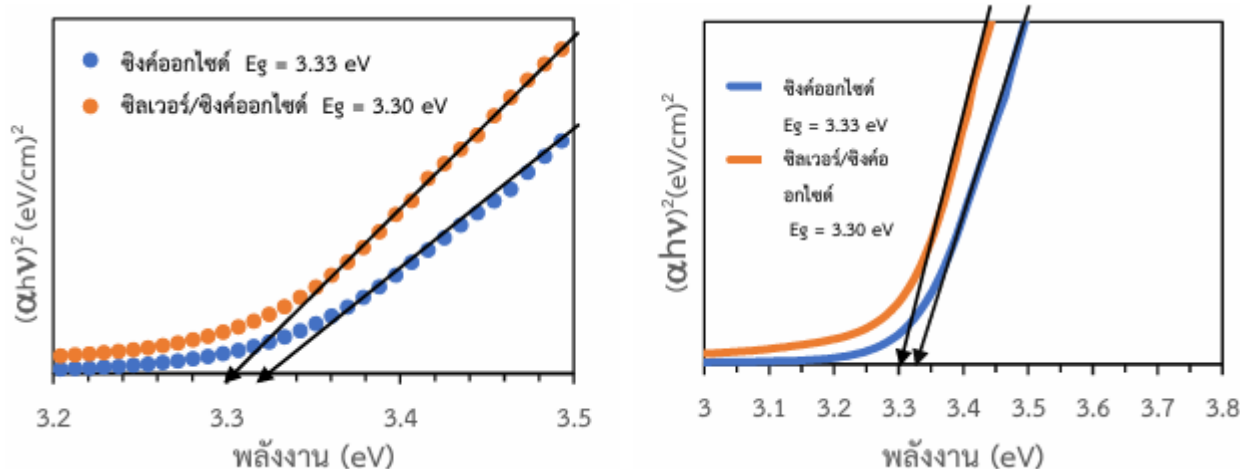
ภาพที่ 6 สเปกตรัม FTIR ของ (ก) ชิลเวอร์/ซิงค์ออกไซด์เเผที่ 400 องศาเซลเซียส (ข) ชิลเวอร์/ซิงค์ออกไซด์เเผที่ 900 องศาเซลเซียส

ซิงค์ออกไซด์ (ZnO) เป็นสารกึ่งตัวนำชนิด n-type ที่มีช่องว่างพลังงาน (band gap energy) ประมาณ 3.37 อิเล็กตรอนโวลต์ และมีพลังงานเอกซิตอนสูงถึง 60 มิลลิอิเล็กตรอนโวลต์ที่อุณหภูมิห้อง ทำให้ชิงค์ออกไซด์ มีคุณสมบัติการดูดกลืนแสงในช่วงอัลตราไวโอเลต (UV) (Elias et al., 2021) การศึกษาคุณสมบัติเชิงแสงของ อนุภาคนาโนซิงค์ออกไซด์และชิลเวอร์/ซิงค์ออกไซด์ ได้ศึกษาค่าช่องว่างพลังงานในช่วงความยาวคลื่น 200 ถึง 800 นาโนเมตร ด้วยเทคนิคยูวี-วิสิเบลสเปกโตรสโคปี การคำนวณช่องว่างพลังงานจากสเปกตรัมใช้วิธีการของ Tauc โดยการพล็อตกราฟ  $(\alpha h\nu)^2$  กับ  $h\nu$  และหาจุดตัดกับแกนพลังงานเพื่อหาค่าช่องว่างพลังงาน ดังสมการ

$$\alpha h\nu = A (h\nu - E_g)$$

เมื่อ  $\alpha$  คือ สัมประสิทธิ์การดูดกลืนแสงของแสง  $h\nu$  คือ ค่าคงที่ของพลังค์ A คือ ค่าคงที่  $v$  คือ ค่าความถี่ ของแสง n คือ ค่าตัวชนีที่ขึ้นอยู่กับการเปลี่ยนแปลงของพาราประจุ โดย  $n = 2$  สำหรับการเปลี่ยนแปลงระดับ พลังงานของอิเล็กตรอนโดยทางอ้อม (indirect transition) และ  $n = \frac{1}{2}$  สำหรับการเปลี่ยนแปลงโดยทางตรง (direct transition) สำหรับชิงค์ออกไซด์ที่มีโครงสร้างผลึกแบบเอกชะโนนอลิวเริทไชท์ อิเล็กตรอนมีพุติกรรม การเปลี่ยนแปลงระดับพลังงานแบบทางตรง โดยค่าช่องว่างพลังงานจากจุดตัดบนแกนพลังงาน ดังแสดงไว้ในภาพที่ 7 พบว่าอนุภาคนาโนซิงค์ออกไซด์ที่สังเคราะห์มีช่องว่างพลังงาน 3.33 อิเล็กตรอนโวลต์ และอนุภาคนาโนชิล เวอร์/ซิงค์ออกไซด์มีช่องว่างพลังงาน 3.30 อิเล็กตรอนโวลต์ ขอบการดูดกลืนแสงเชิงแสง (optical absorption edge) แสดงการเลื่อนไปทางความยาวคลื่นยาวขึ้น หรือพลังงานต่ำลง (red-shift) เมื่อความเข้มข้นของการเจือ ด้วยชิลเวอร์เพิ่มขึ้น โดยการลดลงของค่าช่องว่างพลังงาน (band gap narrowing) ที่สังเกตได้นั้น เกิดจากการเจือ ของชิลเวอร์ ภายใต้แสงอาทิตย์ ทำให้ชิลเวอร์มีความเข้มข้นเพิ่มขึ้น จึงทำให้ค่าช่องว่างพลังงานลดลง (Herzi et al., 2019)

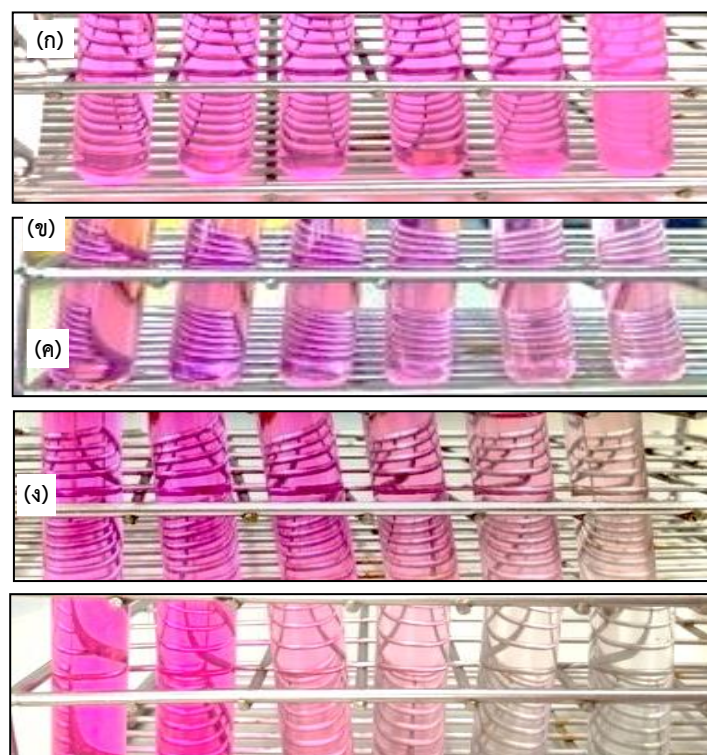
ของอนุภาคซิงค์ออกไซด์และซิลเวอร์/ซิงค์ออกไซด์ลดลงถึงระดับนาโนเมตรจะเกิดปรากฏการณ์ที่เรียกว่าปรากฏการณ์ความตั้งมั่นในไฟน์เมนต์ (quantum confinement) ซึ่งทำให้ช่องว่างพลังงานกว้างขึ้น



ภาพที่ 7 กราฟแสดงความสัมพันธ์ระหว่าง  $(\alpha hV)^2$  กับพลังงานไฟต่อน (eV) สำหรับคำนวนหาช่องว่างพลังงานของซิงค์ออกไซด์และซิลเวอร์/ซิงค์ออกไซด์

### 3. ผลการศึกษาปฏิกิริยาเร่งเชิงแสงด้วยสีย้อมโรดามีน บี

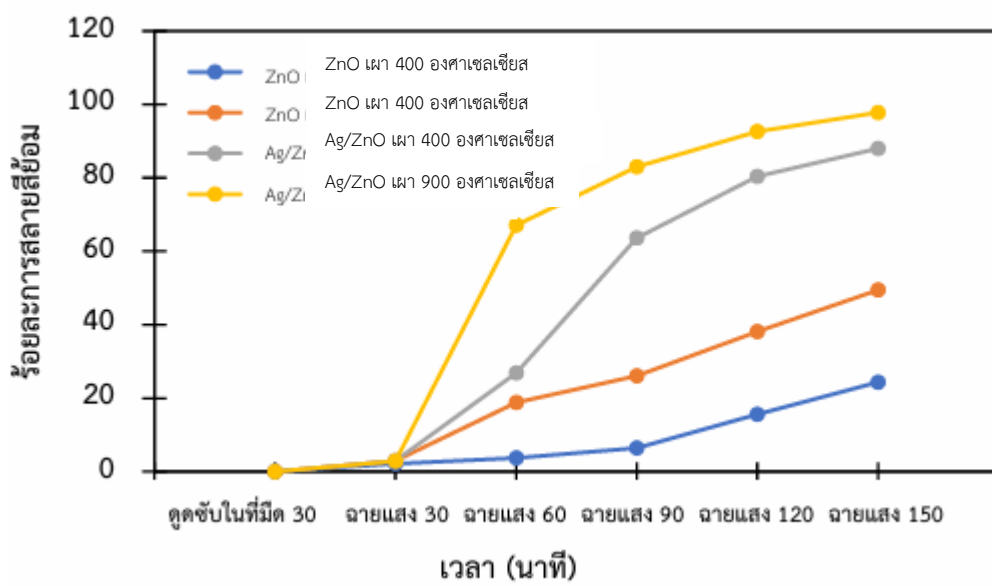
การศึกษาปฏิกิริยาเร่งเชิงแสงของอนุภาคนาโนซิงค์ออกไซด์และซิลเวอร์/ซิงค์ออกไซด์ผ่านการถ่ายสีย้อมโรดามีน บี ภายใต้แสงยูวี เป็นเวลา 150 นาที และนำไปวัดค่าการดูดกลืนแสงที่ความยาวคลื่นสูงสุดของสีย้อมโรดามีน บี คือ 554 นาโนเมตร พบร้าซิงค์ออกไซด์เผาที่อุณหภูมิ 400 องศาเซลเซียส มีร้อยละการถ่ายสีย้อมต่ำสุดคือร้อยละ 24.36 และเมื่อเพิ่มอุณหภูมิในการเผาปรับปรุงเป็น 900 องศาเซลเซียส มีร้อยละการถ่ายสีย้อมสูงขึ้นเป็นร้อยละ 49.45 ซึ่งสอดคล้องกับผลสเปกตรัม FTIR ที่แสดงແນບการสั่นของ Zn-O เข้มขึ้นเมื่อเทียบกับอนุภาคนาโนซิงค์ออกไซด์เผาที่ 400 องศาเซลเซียส จากผลของอุณหภูมิสอดคล้องกับงานวิจัยที่ผ่านมาของ Etcheverry et al. (2018) คือเมื่อเพิ่มอุณหภูมิในการเผาความเป็นผลึกของซิงค์ออกไซด์จะสูงขึ้น เมื่อนำซิงค์ออกไซด์หลังเผาเจือด้วยซิลเวอร์โดยวิธีไฟฟ้าดักชัน พบร้าส่งผลให้ประสิทธิภาพในการถ่ายสีย้อมสูงขึ้นอย่างเห็นได้ชัด โดยซิลเวอร์/ซิงค์ออกไซด์เผาที่อุณหภูมิ 400 องศาเซลเซียส มีการถ่ายสีย้อมสูงสุดเท่ากับร้อยละ 87.99 และซิลเวอร์/ซิงค์ออกไซด์เผาที่อุณหภูมิ 900 องศาเซลเซียส มีการถ่ายสีย้อมสูงสุดเท่ากับร้อยละ 97.90 ซึ่งแสดงถึงอัตราจากการเผาร่วมกับการเจือซิลเวอร์บนพื้นผิวของซิงค์ออกไซด์ สารถ่ายสีย้อมโรดามีน บีแต่ละสภาพแวดล้อมดังภาพที่ 8 และกราฟร้อยละการถ่ายสีย้อมโรดามีน บี ในเวลา 150 นาที ดังภาพที่ 9



เวลาในการศึกษา

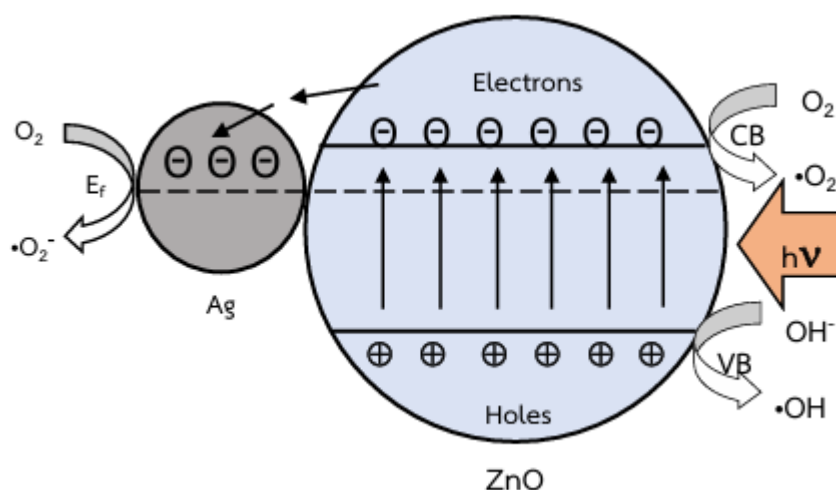
ดูดซับที่มีด	ฉายแสง	ฉายแสง	ฉายแสง	ฉายแสง	ฉายแสง
30 นาที	30 นาที	60 นาที	90 นาที	120 นาที	150 นาที

ภาพที่ 8 สีย้อมโรดามีน บี ที่เกิดปฏิกิริยาเชิงแสง ภายใต้แสงยูวี (ก) ซิงค์ออกไซด์เผาที่ 400 องศาเซลเซียส  
 (ข) ซิงค์ออกไซด์เผาที่ 900 องศาเซลเซียส (ค) ซิลเวอร์/ซิงค์ออกไซด์เผาที่ 400 องศาเซลเซียส และ<sup>1</sup>  
 (ง) ซิลเวอร์/ซิงค์ออกไซด์เผาที่ 900 องศาเซลเซียส



ภาพที่ 9 ร้อยละการสลายสีย้อมของโรดามีน บี ภายใต้แสงยูวีในเวลา 150 นาที

ผลจากการเจือชิลเวอร์ส่งผลสำคัญให้ปฏิกิริยาเร่งเชิงแสงเกิดได้ดียิ่งขึ้น เนื่องจากอนุภาคชิลเวอร์บนพื้นผิวของซิงค์ออกไซด์ช่วยลดการรวมกันระหว่างอิเล็กตรอนและโฮล (electron-hole combination) อีกทั้งทำหน้าที่เป็นอ่างรับอิเล็กตรอน (e-sink) เพื่อเพิ่มโอกาสในการเกิดปฏิกิริยาเชิงแสงได้สูงขึ้นดังแสดงในภาพที่ 10



ภาพที่ 10 กระบวนการเกิดปฏิกิริยาเชิงแสงโดยใช้ชิลเวอร์/ซิงค์ออกไซด์ เป็นตัวเร่งปฏิกิริยาในการสลายสีย้อมโรดาเมิน บี ภายใต้แสงยูวี (Ziang et al., 2015)

ดังนั้นอนุภาคนาโนซิงค์ออกไซด์และชิลเวอร์/ซิงค์ออกไซด์สามารถสังเคราะห์ตามหลักเคมีสีเขียวคือใช้สารสกัดจากใบฟรังเป็นตัวรีดิวช์และสารเพิ่มความเสถียรในการสังเคราะห์ได้โดยอุณหภูมิในการเผาที่ 400 องศาเซลเซียส ให้โลหะออกไซด์ที่มีประสิทธิภาพในการเกิดปฏิกิริยาเชิงแสงโดยสลายสีย้อมโรดาเมิน บี ได้ดีกว่าเผาที่ 400 องศาเซลเซียส และเมื่อเจือชิลเวอร์โดยการนำไปซิงค์ออกไซด์ไปปะยแสงยูวี (photoreduction) ด้วยสารประกอบชิลเวอร์ทำให้ได้ออนุภาคนาโนชิลเวอร์เกะบันพื้นผิวซิงค์ออกไซด์และทำให้ประสิทธิภาพในการเร่งปฏิกิริยาเชิงแสงสูงขึ้นอย่างเห็นได้ชัด อุณหภูมิในการเผา และการเจือชิลเวอร์จึงมีอิทธิพลสำคัญต่อประสิทธิภาพ การเร่งปฏิกิริยาเชิงแสงสลายสีย้อมโรดาเมิน บี ภายใต้แสงยูวี ดังนั้นการสังเคราะห์อนุภาคนาโนซิงค์ออกไซด์และชิลเวอร์/ซิงค์ออกไซด์ผ่านกระบวนการเคมีสีเขียวโดยใช้สารสกัดจากใบฟรังจะเป็นทางเลือกที่น่าสนใจ เนื่องจากใช้สารสกัดจากรร umo ชาติที่ปลอดภัย เป็นมิตรต่อสิ่งแวดล้อม ลดการใช้สารเคมี และช่วยลดต้นทุนการผลิต นอกจากนี้อนุภาคนาโนที่ได้ยังมีคุณสมบัติที่ดีเยี่ยม สามารถนำไปประยุกต์ใช้เป็นตัวเร่งปฏิกิริยาเชิงแสงที่มีประสิทธิภาพในการบำบัดน้ำเสียจากสีย้อม ซึ่งช่วยแก้ปัญหาสิ่งแวดล้อมได้อีกด้วย

### ข้อเสนอแนะ

- ศึกษากระบวนการสังเคราะห์ตามหลักเคมีสีเขียวโดยใช้สารสกัดจากพืชชนิดอื่นๆ ที่สามารถใช้เป็นตัวรีดิวช์ได้
- ศึกษาปฏิกิริยาเชิงแสงภายใต้สภาพแสงวิสิเบิล
- ศึกษาคุณสมบัติในการต้านจุลชีพเพื่อนำไปประยุกต์ใช้

## กิตติกรรมประกาศ

ขอขอบคุณคณะสารสนเทศศาสตร์และสหเวชศาสตร์ มหาวิทยาลัยราชภัฏยะลา และคณะวิทยาศาสตร์และเทคโนโลยี มหาวิทยาลัยราชภัฏยะลา ที่สนับสนุนและเอื้อเพื่อสถานที่ทำการที่วิจัย ส่งผลให้งานวิจัยมีความสมบูรณ์และสำเร็จลุล่วงไปด้วยดี

## อ้างอิง

- Abu, B. F., & Mohd, S. I. (2023). Synthesis of TiO<sub>2</sub> photocatalyst with tunable optical properties and exposed facet for textile wastewater treatment. *Results in Optics*, 13, 100545.
- Changan, S. S., Prajapat, R., Kumar, M., Saurabh, V., Sindhu, N., Shukla, P., & Amarowicz, R. (2021). Guava (*Psidium guajava* L.) Leaves: Nutritional Composition, Phytochemical Profile, and Health-Promoting Bioactivities. *Foods*, 10(4), 752.
- Elias, M., Uddin, M. N., Saha, J. K., Hossain, M. A., Sarker, D. R., Akter, S., Siddiquey, I. A., & Uddin, J. (2021). A highly efficient and stable photocatalyst; N-doped ZnO/CNT composite thin film synthesized via simple sol-gel drop coating method. *Molecules*, 26(5), 1470.
- Etcheverry, L. P., Flores, W. H., da Silva, D. L., & Moreira, E. C. (2018). Annealing Effects on the Structural and Optical Properties of ZnO Nanostructures. *Materials Research*, 21(2).
- Herzi, A., Sebais, M., Boudine, B., & Guerbous, L. (2019). Fabrication and Characterization of Highly Textured Thin Films of Undoped and Ag-Doped ZnO. *Journal of Materials Science: Materials in Electronics*, 30(7), 7008–7015.
- Hussain, A., Fiaz, S., Almohammed, A., & Waqar, A. (2024). Optimizing photocatalytic performance with Ag-doped ZnO nanoparticles: Synthesis and characterization. *Helijon*, 10, e35725.
- Jeyasundari, J., Praba, P. S., Jacob, Y. B. A., Vasantha, V. S., & Shanmugaiah, V. (2017). Green Synthesis and Characterization of Zero Valent Iron Nanoparticles from the Leaf Extract of *Psidium guajava* Plant and Their Antibacterial Activity. *Chemical Science Review and Letters*, 6(22), 1244–1252.
- Kadhem, A. A., & Alshamsi, H. A. (2023). Biosynthesis of Ag-ZnO/rGO nanocomposites mediated Ceratophyllum demersum L. leaf extract for photocatalytic degradation of Rhodamine B under visible light. *Biomass Conversion and Biorefinery*. Advance online publication.
- Kanungini, M. M., Azizi, S., & Mokrani, T. (2022). Effect of Optimized Precursor Concentration, Temperature, and Doping on Optical Properties of ZnO Nanoparticles Synthesized via a

- Green Route Using Bush Tea (*Athrixia phylicoides* DC.) Leaf Extracts. *ACS Omega*, 7(9), 7856–7865.
- Kumar, M., Kumar, S., & Singh, R. (2015). Fabrication and properties of zinc oxide thin film prepared by sol-gel dip coating method. *Materials Science-Poland*, 33(2), 297–302.
- Mirzaeifard, Z., Shariatinia, Z., Jourshabani, M., & Rezaei, S. M. (2020). ZnO Photocatalyst revisited: Effective photocatalytic degradation of emerging contaminants using S-doped ZnO nanoparticles under visible light radiation. *Industrial & Engineering Chemistry Research*, 59(36), 15894–15911.
- Nagaraju, G., Udayabhan, A., Shivaraj, A., Prashanth, S. A., Shastri, M., Yathish, K. V., Anupama, C., & Rangappa, D. (2017). Electrochemical heavy metal detection, photocatalytic, photoluminescence, biodiesel production and antibacterial activities of Ag-ZnO nanomaterial. *Materials Research Bulletin*, 94, 54–63.
- Noohpisheh, Z., Amiri, H., Farhadi, S., & Zaringhadam, P. (2020). Green synthesis of Ag-ZnO nanocomposites using *Trigonella foenum-graecum* leaf extract and their antibacterial, antifungal, antioxidant and photocatalytic properties. *Spectrochimica Acta Part A: Molecular and Biomolecular Spectroscopy*, 240, 118595.
- Ochieng, P. E., Iwuoha, E., Michira, I., Masikini, M., Ondiek, J., Githira, P., & Kamau, G. N. (2015). Green Route Synthesis and Characterization of ZnO Nanoparticles Using *Spathodea campanulata*. *International Journal of BioChemPhysics*, 23, 53–61.
- Patil, S. P., & Rane, P. M. (2020). *Psidium guajava* leaves assisted green synthesis of metallic nanoparticles: A review. *Beni-Suef University Journal of Basic and Applied Sciences*, 9 (1), 60.
- Raza, W., Ahmad, K., Khan, R. A. & Kim, H. (2023). Ag decorated ZnO for enhanced photocatalytic H<sub>2</sub> generation and pollutant degradation. *International Journal of Hydrogen Energy*, 48(75), 29071–29081.
- Shameli, K., Bin Ahmad, M., Zamanian, A., Sangpour, P., Shabanzadeh, P., & Abdollahi, Y. (2017). Biosynthesis of Ag, ZnO and bimetallic Ag/ZnO alloy nanoparticles by aqueous extract of oak fruit hull (Jaft) and investigation of photocatalytic activity of ZnO and bimetallic Ag/ZnO for degradation of basic violet 16. *Journal of Materials Science: Materials in Electronics*, 28(36), 1–12.
- Sougandhi, P. R., & Ramanaiah, S. (2020). Green synthesis and spectral characterization of silver nanoparticles from *Psidium guajava* leaf extract. *Inorganic and Nano-Metal Chemistry*, 50(12), 1290–1294.

- Vittaya, L., & Chalad, C. (2022). *Synthesis and characterization of zinc oxide nanoparticles with the rhizome extract of Ampelocissus martini to inhibit pathogenic bacteria.* Rajamangala University of Technology Srivijaya.
- Zhang, D., Lv, S., and Luo, Z. (2020). A study on the photocatalytic degradation performance of a  $[KNbO_3]_{0.9} \cdot [BaNi_{0.5}Nb_{0.5}O_3 - \delta]_{0.1}$  perovskite. *RSC Advances*, 10(3), 1275–1280.
- Zhang, X., Zhang, L., Xie, T., & Wang, D. (2015). Fabrication of porous 3D flower-like Ag/ZnO heterostructure composites with enhanced photocatalytic performance. *Journal of Materials Chemistry A*, 3(1), 1234–1242.
- Zhang, X., Zhang, P., & Su, H. (2016). Synthesis and characterization of Ag-ZnO heterostructure for enhanced photocatalytic performance. *Applied Surface Science*, 387, 216–222.